#### СИНТЕЗ И ПЕРЕРАБОТКА ПОЛИМЕРОВ И КОМПОЗИТОВ НА ИХ ОСНОВЕ

## SYNTHESIS AND PROCESSING OF POLYMERS AND POLYMERIC COMPOSITES

https://doi.org/10.32362/2410-6593-2019-14-4-39-44 УДК 691.175.2



# Структура, составы и получение литьевых композиционных материалов на основе стеклонаполненного полисульфона

### А.Б. Баранов<sup>1</sup>, Т.И. Андреева<sup>2</sup>, И.Д. Симонов-Емельянов<sup>1</sup>, О.Е. Пексимов<sup>2</sup>

<sup>1</sup>МИРЭА – Российский технологический университет (Институт тонких химических технологий имени М.В. Ломоносова), Москва 119571, Россия <sup>2</sup>АО «Институт пластмасс им. Г.С. Петрова», Москва 111024, Россия <sup>®</sup>Автор для переписки, e-mail: qsefdesx@gmail.com

Рассчитаны составы и спроектированы структуры для системы полисульфон (ПСФ) + короткие стеклянные волокна. Представлена классификация дисперсно-наполненных полимерных композиционных материалов (ДНПКМ) на основе ПСФ-190 по структурному принципу, с учетом обобщенных параметров структуры и установлена оптимальная область содержания стеклянного волокна (13.5–18.5% об.). Описана технология получения ДНПКМ на основе ПСФ и короткого стеклянного волокна на двухшнековом экструдере фирмы Labtech Engineering Company LTD марки Scientific FIC 20-40 и определены оптимальные параметры смешения для создания композиций с длиной стекловолокна более  $l_{\rm кp}$ . Рассчитана критическая длина ( $l_{\rm kp}$ ) и построены кривые распределения волокна по размерам в полимерных композиционных материалах на основе полисульфона. Впервые приведены данные по оптимальным параметрам структуры ДНПКМ на основе ПСФ и коротких стеклянных волокон, которые соответствуют средненаполненным дисперсным системам.

**Ключевые слова:** полисульфон, композиционные материалы, критическая длина волокна, короткие стеклянные волокна, смешение.

# The structure, composition and preparation of injection-molded composite materials based on glass-filled polysulfone

## Artyom B. Baranov<sup>1</sup>, Tatyana I. Andreeva<sup>2</sup>, Igor D. Simonov-Emel'yanov<sup>1</sup>, Oleg E. Peksimov<sup>2</sup>

<sup>&</sup>lt;sup>1</sup>MIREA – Russian Technological University (M.V. Lomonosov Institute of Fine Chemical Technologies), Moscow 119571, Russia

<sup>&</sup>lt;sup>2</sup>JSC "G.S. Petrov Institute of Plastics", Moscow 111024, Russia

<sup>@</sup>Corresponding author, e-mail: qsefdesx@gmail.com

In the course of this study, compositions and designed structures for the polysulfone (PSF) and short glass fibers systems were calculated. Additionally, disperse-filled polymer composite materials (DFPCM) based on PSF-190 were classified in accordance with their respective structures, and the optimal amount of glass fiber (13.5–18.5 vol %) was determined. This article describes the production of DFPCM using PSF and a short glass fiber with a twin-screw extruder (Labtech Engineering Company LTD, model Scientific FIC 20-40). Furthermore, optimal mixing parameters for the creation of composites wherein the glass fiber length exceeds the critical length ( $l_{cr}$ ) were established. The critical length was calculated, and the curves for fiber size distribution of polysulfone composites were depicted, and a difference in fiber concentration between the dispenser and the extrusion head (up to ~10–15%) was found when the fiber content was at 18–25 vol %. For the first time, optimal parameters (which pertain to medium-filled dispersions) for the structure of DFPCM based on PSF and short glass fiber are able to be demonstrated.

**Keywords:** polysulfone, composite materials, critical fiber length, short glass fibers.

#### Введение

Для улучшения комплекса физико-механических характеристик в теплостойкие полимеры конструкционного назначения класса полисульфонов (ПСФ) вводят волокнистые наполнители разной природы, что позволяет существенно расширить их марочный ассортимент и области применения.

Проектирование структур и составов дисперсно-наполненных полимерных композиционных материалов (ДНПКМ) должно осуществляется с учетом классификации системы по структурному принципу [1].

В работе приводятся данные по созданию в процессе экструзии полимерного композиционного материала на основе полисульфона с разным содержанием коротких стеклянных волокон.

Выбор содержания стекловолокна осуществляли согласно классификации дисперсных систем по структурному принципу: разбавленные (PC), низконаполненные (HHC), средненаполненные (CHC) и высоконаполненные (BHC) с учетом обобщенных параметров структуры для получения литьевых ДНПКМ.

В работе [2] установлено, что в области разбавленных и низконаполненных систем наблюдаются незначительные изменения комплекса физико-механических характеристик, максимальные показатели достигаются при образовании средненаполненных систем до предела текучести расплава (СНС-1) и с пределом текучести (СНС-2).

#### Экспериментальная часть

В качестве объектов исследования были выбраны: отечественный ПСФ марки ПСФ-190 (АО «Институт пластмасс») с показателем текучести расплава (ПТР) = 10 г/10 мин (340 °C и 2.16 кгс) и температурным интервалом переработки 295–305 °C [3], а также стеклоровинг фирмы "Ovens corning" марки EC17-1200<sup>1</sup> с диаметром элементарной нити 13 мкм и линейной плотностью 2180 текс. [4].

<sup>1</sup>Каталог Owens Corving, OCV Reinforcements [Электронный ресурс]. URL: http://www.ocvreinforcements.com/pdf/products/SingleEndRovings\_SE1200\_ww\_06\_2008\_Rev0.pdf

Полисульфон марки ПСФ-190 сушили при температуре  $\sim$ 145  $^{\circ}$ С в течение 4 ч под вакуумом до остаточной влажности не более 0.02%.

Смешение исходных компонентов и регулирование содержания волокна в ПСФ осуществляли в процессе экструзии путем изменения скорости подачи ПСФ с помощью гравиметрического дозатора при постоянной скорости подачи стеклоровинга с бобин.

Смешение компонентов проводили на двухшнековом экструдере фирмы Labtech Engineering Company LTD марки Scientific FIC 20-40. Схема процесса получения стеклонаполненного ПСФ представлена на рис. 1.

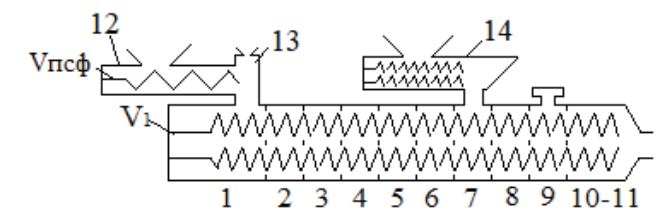


Рис. 1. Схема процесса получения стеклонаполненного ПСФ (обозначения см. далее в тексте).

Лабораторный экструдер (рис. 1) с диаметром шнеков  $D_{_{\rm III}}=20$  мм и  $L/D_{_{\rm III}}=40$  имеет 10 независимо обогреваемых зон с температурой по зонам: 1 зона -260 °C, 2-9 зоны -310 °C, 10-11 зоны -295 °C. Экструдер снабжен зоной дегазации (зона 9).

Крутящий момент в процессе получения стеклонаполненного ПСФ составлял  $\sim\!35\!-\!40~{\rm H}\cdot{\rm M}$ . Скорость вращения шнеков при переработке была постоянной:  $V_{_1}=300~{\rm o}6./{\rm M}$ ин.

Подачу стеклоровинга в экструдер осуществляли двумя способами:

Способ 1. Стеклоровинг с бобины вводили непрерывно через загрузочный патрубок (поз. 13) в зону 1 двухшнекого экструдера при температуре 260 °С с линейной скоростью подачи волокна  $V_{_{\rm B}}=18$  м/мин при скорости вращения шнеков экструдера  $V_{_{\rm I}}=300$  об./мин. Расход подачи стекловолокна составил  $Q_{_{\rm B}}=36$  г/мин.

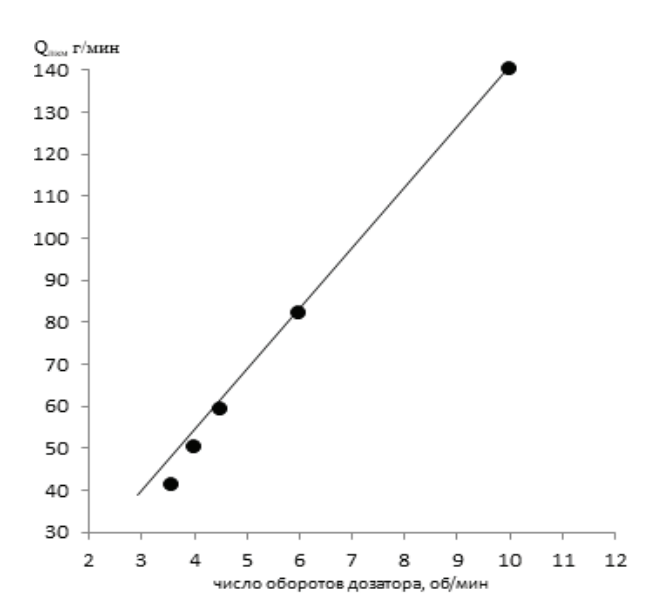
Полисульфон вводили с помощью гравиметрического дозатора (поз. 12) в загрузочную зону экстру-

дера (зона 1). Скорость подачи ( $V_{\Pi C \Phi}$ ) регулировали в пределах от 3 до 10 об. /мин, при этом расход  $Q_{\Pi C \Phi}$  изменялся от 30 до 140 г/мин.

Способ 2. Стеклоровинг с бобины вводили с помощью бокового двухшнекового питателя (поз. 14) в расплав ПСФ, непосредственно в зону 7 материального цилиндра экструдера. Линейная скорость подачи волокна ( $V_{\rm B}$ ) была постоянной и составляла 1.3 м/мин, а расход — 36 г/мин, что обеспечивалось скоростью вращения шнеков экструдера, равной 300 об./мин. Полисульфон в экструдер вводили аналогично способу I.

Концентрацию стекловолокна в ПСФ регулировали путем изменения расхода ПСФ-190 с помощью гравиметрического дозатора (поз. 12), изменяя число оборотов шнека от 3 до 12 об./мин и сохраняя непрерывный расход стекловолокна равным  $Q_n = 36$  г/мин.

На рис. 2 представлена зависимость расхода ПСФ-190 от числа оборотов шнека дозатора (поз.12).



**Рис. 2.** Зависимость расхода ПСФ-190 ( $Q_{\Pi KM}$ ) от числа оборотов шнека дозатора (поз. 12).

Из рис. 2 следует, что с возрастанием числа оборотов шнека дозатора 12 от 3 до 10 об./мин расход ПСФ-190 увеличивается от 40 до 140 г/мин и описывается линейной функцией  $Q_{\Pi C \Phi} = K(n-4.2/K) = 14(n-0.3)$  в интервале оборотов от 3 до 10 об/мин, где n- число оборотов шнека дозатора 12; K- коэффициент пропорциональности.

Содержание стеклянного волокна ( $\phi_{_B}$ ) в полисульфоне при постоянном расходе стеклоровинга  $Q_{_B}$  = 36 г/мин рассчитывали как:  $\phi_{_B} = Q_{_B}/(Q_{_\Pi} + Q_{_B})$ , где  $Q_{_\Pi}.Q_{_B}$  – расход ПСФ-190 и СВ соответственно, г/мин;  $\phi_{_U}$  – доля стекловолокна в ПСФ-190, масс. д.

Для оценки влияния структуры на свойства стеклонаполненного ПСФ массовые доли ( $\phi$ ) пересчитывали в объемные единицы  $\phi$ <sub>...</sub>.

#### Результаты и их обсуждение

С целью получения ДНПКМ на основе стеклонаполненного ПСФ с разными структурами и обобщенными параметрами были рассчитаны составы для конкретно выбранного наполнителя (стеклянного волокна). Экспериментально для короткого стеклянного волокна был определен по известной методике [4] параметр максимального содержания стекловолокна  $\phi_m = 0.36$  об. д.

В таблице представлены составы, обобщенные параметры структуры для дисперсной системы полимер — стекловолокно и классификация ДНПКМ по структурному принципу.

Доля полимерной матрицы в граничном слое и обобщенный параметр М структуры для дисперсных систем с небольшой удельной поверхностью наполнителя в наших расчетах не учитывался.

При переходе ДНПКМ от одного типа структуры к другому изменение обобщенного параметра  $\Theta$  приводит к варьированию технологических характеристик и эксплуатационных свойств.

Так, при увеличении координационного числа решетки Z, плотности упаковки  $k_{y_{II}}$ , уменьшении доли полимерной прослойки между дисперсными частицами (обобщенный параметр  $\Theta$ ) и увеличении содержания стеклянного волокна  $(\phi_{\scriptscriptstyle B})$  повышается вязкость, ухудшается перерабатываемость и изменяется механизм течения ДНПКМ.

При использовании ВНС-структур с обобщенным параметром  $\Theta < 0.20$  об. д. и концентрации стекловолокна более 0.27 об. д. в процессе экструзии при получении стренги наблюдаются ее обрывы и процесс становится нестабильным.

Таким образом, этот метод грануляции имеет ограничения по структурным параметрам ДНПКМ. Для получения систем СНС-2 с  $\Theta$  от 0.45 до 0.20 об. д. и высоконаполненных с  $\Theta$  < 0.20 об. д. необходимо использовать так называемый метод грануляции на головке.

Для проведения дальнейших экспериментальных исследований были получены ДНПКМ на основе стеклонаполненного ПСФ со следующими параметрами структуры:

```
- низконаполненные системы ННС: \Theta=0.90 \text{ об. д. и } \phi_{_{\rm H}}=0.09 \text{ об. д.;} - средненаполненные системы СНС-1: \Theta=0.73 \text{ об. д. и } \phi_{_{\rm H}}=0.09 \text{ об. д.;} \Theta=0.60 \text{ об. д. и } \phi_{_{\rm H}}=0.135 \text{ об. д.;} - средненаполненные системы СНС-2: \Theta=0.45 \text{ об. д. и } \phi_{_{\rm H}}=0.185 \text{ об. д.;} \Theta=0.45 \text{ об. д. и } \phi_{_{\rm H}}=0.185 \text{ об. д.;} \Theta=0.40 \text{ об. д. и } \phi_{_{\rm H}}=0.21 \text{ об. д.;} \Theta=0.27 \text{ об. д. и } \phi_{_{\rm H}}=0.25 \text{ об. д.} - высоконаполненные ВНС: \Theta=0.20 \text{ об. д. и } \phi_{_{\rm H}}=0.275 \text{ об. д.}
```

Составы и обобщенные параметры структуры стеклонаполненного І	$TC\Phi$ ( $\phi_{m} = 0.36$ об. д., $d = 13$ мкм)
---	--

Содержание стек	лянного волокна	Обобщенные параметры структуры ДНПКМ
φ <sub>н</sub> , об. д.	ф, масс. д.	Θ, об. д.
	Низконаполненые ДНПКМ	М с 0.9 > Θ ≥ 0.75 об. д.
0.04	0.09	0.90
	Средненаполненые ДНПК	М с 0.75 > Θ > 0.2 об. д.
	СНС-1: <b>0.75</b> > $\Theta$ > 0.45 об. д. (ДЕ	НПКМ до предела текучести)
0.085	0.204	0.75
0.09	0.215	0.73
0.11	0.264	0.68
0.135	0.32	0.6
0.15	0.37	0.56
	СНС-2: 0.45 > $\Theta$ > 0.2 об. д. (ДН	ПКМ с пределом текучести)
0.183	0.43	0.45
0.21	0.50	0.40
0.25	0.60	0.27
	Высоконаполненные ВНП	${ m KM}{ m c}0.2{\geq}\Theta{\geq}0.0{ m of}$ .д.
0.275	0.66	0.2
0.285	0.69	0.016
0.3	0.82	0.01
0.34	0.82	0.01
	Сверхвысоконаполненны	ие ВНПКМ $\Theta$ < 0 об. д.
0.37	0.864	-0.1

На рис. 3 представлены зависимости концентрации короткого стеклянного волокна в ДНПКМ ( $cnoco6\ 2$ ) от расхода полисульфона марки ПСФ-190 дозатора поз.12 (2) и на выходе из экструзионной головки (1) при постоянной скорости подачи волокна (36 г/мин).

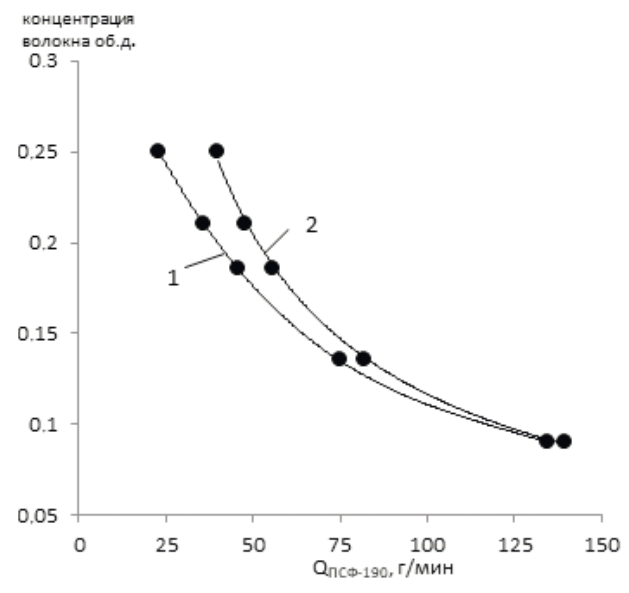


Рис. 3. Зависимость концентрации стеклянного волокна в ДНПКМ от расхода ПСФ-190 дозатора 12 (2) и на выходе из головки экструдере (1).

Из рис. З следует, что в области 75–150 г/мин данные расхода в головке экструдера и в гравиметрическом дозаторе совпадают, при дальнейшем уменьшении расхода до 25 г/мин разница составляет ~15%.

В процессе введения непрерывного стеклянного волокна и получения ДНПКМ на основе ПСФ в экструдере происходит дробление и уменьшение длины волокна, что, безусловно, оказывает влияние на физико-механические характеристики стеклонаполненного материала.

В работе [4] показано, что для создания высокопрочных стеклонаполненных композиционных материалов с короткими волокнами на основе полимерных матриц необходимо соблюдать условие: длина волокна  $(I_{\scriptscriptstyle B})$  должна превышать значение критической длины волокна  $(I_{\scriptscriptstyle KD})$ .

Критическую длину ( $l_{\rm kp}$ ) стеклянного волокна "Ovens corning" марки EC17-1200 в ПСФ рассчитывали по формуле:

$$l_{\rm kp} = \frac{\sigma_{\rm B}}{2\tau} \cdot d$$

Если принять, что  $\tau \approx \frac{\sigma_{\scriptscriptstyle \mathsf{TM}}}{\sqrt{3}}$  , тогда

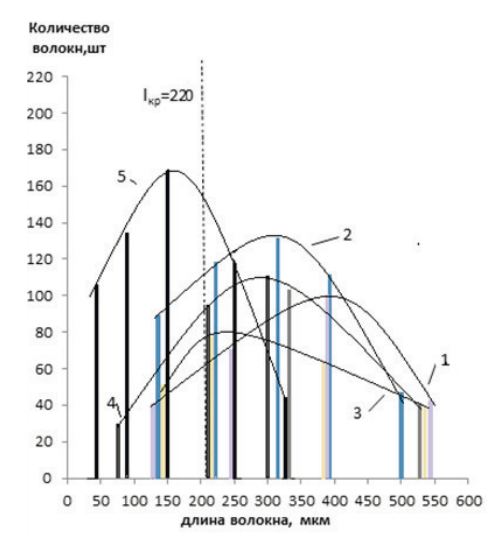
$$l_{\text{kp}} \approx 0.866 \cdot \frac{\sigma_{_{\text{B}}}}{\sigma_{_{\text{TM}}}} \cdot d$$
,

где  $\sigma_{_B}$  — прочность стеклянного волокна при растяжении (2700 МПа); d — диаметр волокна (13 мкм);  $\sigma_{_{TM}}$  — предел текучести ПСФ-190 (76 МПа);  $\tau$  — разрушающие напряжение при сдвиге по границе раздела волокно — полимерная матрица, МПа.

Расчетное значение критической длины стекловолокна "Owens corning" марки EC17-1200 в матрице  $\Pi C\Phi$  составило ~220 мкм.

Для построения кривых распределения стекловолокон по размерам в ПСФ использовали прибор Микрофот тип 5ПО-1 (фирма «Москинап», Россия). Образцы стекловолокон для исследований получали с помощью двухступенчатого отжига ДНПКМ в муфельной печи, согласно ГОСТ-15973-82.

На рис. 4 приведены кривые распределения стеклянных волокон по длине в ДНПКМ на основе ПСФ в зависимости от способа введения ( $cnoco6\ I$  – кривая 5 и  $cnoco6\ 2$  – кривые 1—4) при различном содержании волокна.



**Рис. 4.** Кривые распределения стеклянных волокон по длине в ПСФ-190 при введении по *способу 1* (5) и *способу 2* (1–4) и разном содержании волокна: 13.5% об. (1, 5), 18.5% об. (2), 21% об. (3) и 25% об. (4).

Из рис. 4 следует, что при введении стекловолокна в загрузочную зону экструдера (способ l, кривая 5) происходит интенсивное измельчение стеклянных волокон вследствие сухого трения о гранулят ПСФ, шнеки и материальный цилиндр экструдера в загрузочной зоне, при этом длина волокна в композиционном материале ниже значений  $l_{\rm kp}$  и составляет  $l_{\rm cp} \approx 150$  мкм.

#### Список литературы:

- 1. Симонов-Емельянов И.Д. Построение структур в дисперсно-наполненных полимерах и свойства композиционных материалов // Пластические массы 2015. № 9-10. С. 29–36.
- 2. Михайлин Ю.А. Термоустойчивые полимеры и полимерные материалы. СПб.: Профессия, 2006. 259 с.

При введении стеклянных волокон непосредственно в расплав ПСФ в зону 7 материального цилиндра экструдера (кривые 1–5) также наблюдается их измельчение ( $cnoco6\ 2$ ). Однако длина волокна в этом случае в области  $13.5\ u\ 18.5\%$  об. составляет  $1_{\rm cp}\approx 400$  мкм, что превышает значение критической длины волокна в ПСФ примерно в 2 раза ( $1_{\rm kp}\approx 220$  мкм). Для составов с содержанием волокна 25% об. его средняя длина достигает приблизительно 300 мкм, что примерно 1.5 раза больше  $1_{\rm kp}$ .

Прочность при растяжении ДНПКМ на основе ПСФ и стекловолокна при  $1_{\rm cp}\approx 400$  мкм и содержании волокна 13.5–18.5% об. достигает максимального значения — 120 МПа, что превышает прочность полимерной матрицы в 1.7 раз и не уступает зарубежным аналогам.

При введении стекловолокна по способу l значение длины волокна в композиционном материале ниже значений  $l_{\rm kp}$  ( $l_{\rm cp} \approx 150$  мкм), а прочность ДНПКМ не превышает 75 МПа, что практически равно прочности ПСФ, т.е. в данном случае стекловолокно не работает как армирующий наполнитель.

#### Заключение

Таким образом, спроектированы составы ПСФ с короткими стеклянными волокнами на базе основных положений теории решеток и упаковок, проведена их классификация по структурному принципу, установлена оптимальная область содержания стеклянного волокна (13.5–18.5% об.).

Описана технология получения ДНПКМ на основе ПСФ и короткого стеклянного волокна ( $cnoco6\ 2$ ) и определены оптимальные параметры смешения для создания композиций с длинной стекловолокна волокна, превышающей  $l_{\infty}$ .

Впервые приведены данные по оптимальным параметрам структуры ДНПКМ на основе ПСФ и короткого стеклянного волокна, которые соответствуют средненаполненным дисперсным системам.

#### Благодарности

Авторы выражают благодарность сотрудникам лаборатории технологии композиционных материалов AO «Институт пластмасс им. Г.С. Петрова» за оказанную помощь при проведении данного исследования.

Авторы заявляют об отсутствии конфликта интересов.

#### **References:**

- 1. Simonov-Emel'yanov I.D. Building structures in dispersion-filled polymers and properties of composite materials. *Plasticheskie massy* = Polymer Science and Technology. 2015;9(10):29-36 (in Russ.).
- 2. Mikhaylin Yu.A. Heat resistant polymers and polymeric materials. Saint Petersburg: Professiya Publ., 2006;261-298 (in Russ.).

- 3. Баранов А.Б., Пексимов О.Е., Прудскова Т.Н., Андреева Т.И., Симонов-Емельянов И.Д., Шембель Н.Л. Исследование технологических характеристик материалов на основе полисульфона // Тонкие химические технологии. 2016. Т. 11. № 5. С. 87–90. https://doi.org/10.32362/2410-6593-2016-11-5-87-90
- 4. Симонов-Емельянов И.Д., Шембель Н.Л., Прокопов Н.И., Ушакова О.Б., Суриков П.В. Методы определения технологических свойств наполнителей и полимерных материалов. М.: ИПЦ МИТХТ, 2014. С. 63–74.
- 3. Baranov A.B., Peksimov O.E., Prudskova T.N., Andreeva T.I., Simonov-Emel'yanov I.D., Shembel N.L. Study on technology characteristics materials based on polysulfone. *Tonkie khimicheskie tekhnologii = Fine Chemical Technologies*). 2016;11(5):87-90 (in Russ.). https://doi.org/10.32362/2410-6593-2016-11-5-87-90
- 4. Simonov-Emel'yanov I.D., Spembel' N.L., Prokopov N.I., Ushakova O.B., Surikov P.V., Markov A.V. Methods for determination of technological properties of fillers and polymer materials. Moscow: Publishing and Printing Center of MITHT, 2014;63-74 (in Russ.).

#### Об авторах:

**Баранов Артем Борисович,** аспирант кафедры химии и технологии переработки пластмасс и полимерных композитов Института тонких химических технологий имени М.В. Ломоносова ФГБОУ ВО «МИРЭА – Российский технологический университет» (Россия, 119571, Москва, пр. Вернадского, д. 86). E-mail: qsefdesx@gmail.com. Scopus Author ID 57194107911

**Андреева Татьяна Ивановна**, доктор технических наук, первый заместитель генерального директора АО «Институт пластмасс им. Г.С. Петрова» (Россия, 111024, Москва, Перовский проезд, д. 35). Scopus Author ID 7005954791

**Симонов-Емельянов Игорь Дмитриевич**, доктор технических наук, профессор, заведующий кафедрой химии и технологии переработки пластмасс и полимерных композитов Института тонких химических технологий имени М.В. Ломоносова ФГБОУ ВО «МИРЭА – Российский технологический университет» (Россия, 119571, Москва, пр. Вернадского, д. 86). Scopus Author ID 6603181099

**Пексимов Олег Евгеньевич,** начальник лаборатории испытаний АО «Институт пластмасс им. Г.С. Петрова» (Россия, 111024, Москва, Перовский проезд, д. 35).

#### About the authors:

**Artyom B. Baranov**, Postgraduate Student of the Chair of Chemistry and Technology of Plastics and Polymer Composites, M.V. Lomonosov Institute of Fine Chemical Technologies, MIREA – Russian Technological University (86, Vernadskogo pr., Moscow 119571, Russia).

**Tatyana I. Andreeva**, Dr. of Sci. (Engineering), First Deputy General Director, JSC "G.S. Petrov Institute of Plastics" (35, Perovskii proezd, Moscow 111024, Russia). Scopus Author ID 7005954791

**Igor D. Simonov-Emel' yanov**, D.Sc. (Engineering), Professor, Head of the Chair of Chemistry and Technology of Plastics and Polymer Composites, M.V. Lomonosov Institute of Fine Chemical Technologies, MIREA – Russian Technological University (86, Vernadskogo pr., Moscow 119571, Russia). Scopus Author ID 6603181099

**Oleg E. Peksimov**, Head of the Testing Laboratory, JSC "G.S. Petrov Institute of Plastics" (35, Perovskii proezd, Moscow 111024, Russia).

**Для цитирования:** Баранов А.Б., Андреева Т.И., Симонов-Емельянов И.Д., Пексимов О.Е. Структура, составы и получение литьевых композиционных материалов на основе стеклонаполненного полисульфона // Тонкие химические технологии. 2019. Т. 14. № 4. С. 39–44. https://doi.org/10.32362/2410-6593-2019-14-4-39-44

For citation: Baranov A.B., Andreeva T.I., Simonov-Emel'yanov I.D., Peksimov O.E. The structure, composition and preparation of injection-molded composite materials based on glass-filled polysulfone. Tonkie Khimicheskie Tekhnologii = Fine Chemical Technologies. 2019;14(4):39-44 (in Russ.). https://doi.org/10.32362/2410-6593-2019-14-4-39-44